

長崎大学工学部 正・落合英俊

同上 正・棚橋由彦

はじめに

排水状態で砂のせん断試験を行なうと、せん断変形とともに体積変化(ダイレイタニシー)が生じ、供試体に加えられた軸差応力の一部は拘束圧力に抗して供試体の体積を変化せしめるために消費されてしまうと考えられる。この体積変化のための仕事量に対する補正、すなはち、ダイレイタニーシー補正を行なうと強度に対する摩擦角 ϕ_{cv} は限界状態における摩擦角 ϕ_c に等しいといわれている¹⁾。軸対称三軸圧縮試験($\sigma_2 = \sigma_3$)に対するダイレイタニーシー補正式²⁾としては、Bishop, Ladanyi, Poorooshashb, Rowe の提案式があるが、これらの式は相異なる三主应力下における試験に対しては適用できない。本文では、一般的な三次元应力下におけるダイレイタニーシー補正式を求め、構造異方性をもつての三主应力制御試験結果に適用し、その三次元強度特性について検討した。なお、本文における応力およびひずみはすべて圧縮を正とし、応力は有効応力を意味している。

相異なる三主应力下におけるダイレイタニーシー補正式

供試体に外力 σ_{ij} が作用し、ひずみ増分 $d\varepsilon_{ij}$ を生じるととき、供試体が受けるエネルギー増分 dE_{ex} は次式で与えられる。

$$dE_{ex} = \sigma_{ij} \cdot d\varepsilon_{ij} = \sigma_m \cdot d\varepsilon_v + S_{ij} \cdot d\varepsilon_{ij} \quad \dots (1)$$

ここで、 S_{ij} は偏差応力テンソル、 $d\varepsilon_{ij}$ は偏差ひずみ増分テンソルを意味し、 σ_m 、 $d\varepsilon_v$ は平均有効主应力および体積ひずみ増分で、それぞれ次式で表わされる。

$$\sigma_m = \frac{1}{3} \sigma_{ij} \cdot \delta_{ij} \quad \dots (2) \quad d\varepsilon_v = d\varepsilon_{ij} \cdot \delta_{ij} \quad \dots (3) \quad (\delta_{ij} \text{ は 2 ロネットカーハデルタ})$$

ここで、中庸主应力の相対的な大きさを表す $b = (\sigma_2 - \sigma_3)/(\sigma_1 - \sigma_3)$ を用い、主应力軸と主ひずみ増分軸が一致するとして、それらの軸転換(式(1))を变形すると、 $S_{11} = \sigma_1 - \sigma_m = (\sigma_1 - \sigma_3) + (\sigma_3 - \sigma_m) = (\sigma_1 - \sigma_3) + S_{33}$ 、
 $S_{22} = \sigma_2 - \sigma_m = (\sigma_2 - \sigma_3) + (\sigma_3 - \sigma_m) = (\sigma_2 - \sigma_3) + S_{33}$ である。

$$dE_{ex} = \sigma_m \cdot d\varepsilon_v + (\sigma_1 - \sigma_3) \cdot d\varepsilon_{11} + (\sigma_2 - \sigma_3) \cdot d\varepsilon_{22} = \sigma_m \cdot d\varepsilon_v + (\sigma_1 - \sigma_3)(d\varepsilon_{11} + b \cdot d\varepsilon_{22}) \quad \dots (4)$$

と表わされる。この外部から加えられるエネルギー増分 dE_{ex} は、内部で消散されるエネルギー増分 dE_{in} に等しく、さらに、 dE_{in} はせん断変形のために消費されるエネルギー増分 dW と圧密に消費されるエネルギー増分 dU とに分りうると仮定する。せん断変形のために消費されるエネルギー増分 dW に寄与する応力系にサフィックス r を付けて記すと、 dW は次のようく表わされる。

$$dW = S_{ij,r} \cdot d\varepsilon_{ij} = (\sigma_1 - \sigma_3)_r \cdot d\varepsilon_{11} + (\sigma_2 - \sigma_3)_r \cdot d\varepsilon_{22} = (\sigma_1 - \sigma_3)_r \cdot (d\varepsilon_{11} + b \cdot d\varepsilon_{22}) \quad \dots (5)$$

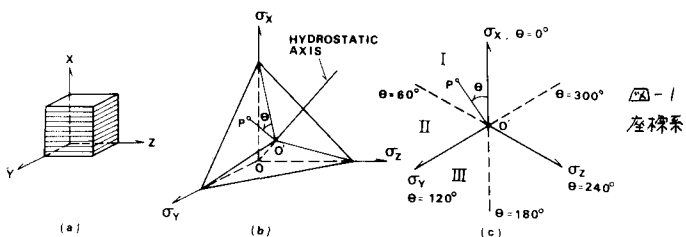
一方、圧密に消費されるエネルギー増分 dU は、粘着力を無視できる砂の場合、体積ひずみ増分 $d\varepsilon_v$ のうち構造骨格の弹性変形に起因する部分を $d\varepsilon_v^e$ とすれば、 $dU = \sigma_m \cdot d\varepsilon_v^e$ と表わせると、破壊時には $d\varepsilon_v^e$ は無視できるが、 $dU \neq 0$ とみなすことができる。したがって、砂の場合、破壊時には $dE_{ex} = dW$ とみなせる。それゆえ、式(4), (5)より、三次元应力状態におけるダイレイタニーシー補正式³⁾は次式が得られる。

$$\begin{aligned} (\sigma_1 - \sigma_3)_r &= (\sigma_1 - \sigma_3)_f + \sigma_m \cdot \frac{d\varepsilon_v}{d\varepsilon_{11} + b \cdot d\varepsilon_{22}} \\ &= (\sigma_1 - \sigma_3)_f + \sigma_m \cdot \frac{(d\varepsilon_v/d\varepsilon_1)}{1 - \frac{1}{3}(d\varepsilon_v/d\varepsilon_1) + b \left\{ (d\varepsilon_2/d\varepsilon_1) - \frac{1}{3}(d\varepsilon_v/d\varepsilon_1) \right\}} \quad \dots (6) \end{aligned}$$

同様にして、 $(\sigma_2 - \sigma_3)_r$ に対する補正式⁴⁾は次式が得られる。

$$(\sigma_2 - \sigma_3)_r = (\sigma_2 - \sigma_3)_f + \sigma_m \cdot \frac{(d\varepsilon_v/d\varepsilon_2)}{(d\varepsilon_2/d\varepsilon_1) - \frac{1}{3}(d\varepsilon_v/d\varepsilon_1) + \frac{1}{b} \left\{ 1 - \frac{1}{3}(d\varepsilon_v/d\varepsilon_1) \right\}} \quad \dots (7)$$

式(6), (7)より、 $\sigma_3 = -\sigma_1$ 、 $b = (\sigma_2 - \sigma_3)/(\sigma_1 - \sigma_3) = -1$ の試験におけるダイレイタニーシー補正⁴⁾は $(\sigma_1 - \sigma_3)_r$ 、 $(\sigma_2 - \sigma_3)_r$ の値を算定することができる。また、 $\sigma_2 = \sigma_3$ の通常の三軸圧縮試験($b = 0.00$)の場合には、式(6)は周知の Poorooshashb らの式¹²⁾と一致する。



試験結果とその考察

試料はやや長めの偏平な形状(平均細長比0.61)をもつ粒径0.84~2.00 mmの川砂である。供試体は $7.6 \times 7.6 \times 7.6$ cmの立方体で、図-1(a)に示すような進断面内等方性=軸直交異方性をもつよう作製された密な供試体である。試験は $\sigma_3 = 1$ kN/m²の三軸圧縮、平面ひずみ、および $b = (\sigma_2 - \sigma_3)/(\sigma_1 - \sigma_3) = 1$ の三主応力制御試験であり、その主な結果は文献(3)に発表されてる。図-2は、正八面体面上におけるθの各60°の3つの領域I, II, III(図-1(c))における破壊時の体積膨張率 $-(d\epsilon_v/d\epsilon_l)_f$ とb値の関係である。 $-(d\epsilon_v/d\epsilon_l)_f$ の値は、θの各領域においても中间主応力の大きさとともに単調に増加し、また、θの各領域間においても領域I, II, IIIの順に大きい。図-3は、三軸圧縮試験($b = 0.00$)における、 $\theta = 0^\circ$ と $\theta = 120^\circ$ の試験における破壊時の主応力差 $(\sigma_1 - \sigma_3)_f$ の比 σ_1/σ_3 と強度比と拘束圧力の関係である。実線が実測値による強度比、破線が式(6)を用いてダイレイタンシー補正した強度比であり、小田ら⁽⁴⁾による豊浦砂(細長比0.605)の結果を示す。体積変化に対する強度の補正を行なえば、拘束圧力が小さい場合でも初期構造異方性の影響はほぼ無視できるといえる。なお、本実験と小田らの豊浦砂の結果との相違は、破壊に至るまでのひずみが異なり、本実験によるそれが小田らの結果と比べてかなり大きいためと考えられる。図-4は、砂の強度と摩擦角 $\phi = \sin^{-1} \{(\sigma_1 - \sigma_3)/(\sigma_1 + \sigma_3)\}$ を表すし、θの各60°の3つの領域I, II, IIIに対するb値との関係を示したものであり、実線が実測値、破線が式(6)を用いてダイレイタンシー補正した値によるものである。θの3つの領域におけるθ～b関係の様子はダイレイタンシー補正に關係なくほぼ同じとみなせる。しかし、あるb値に対するθの値は、実測値ではなくて領域I, II, IIIの順に大きいが、ダイレイタンシー補正を行なうと、その差は小さくなり、大小関係が逆転する場合もみられる。したがって、ダイレイタンシー補正した強度は、实用上、初期構造異方性の影響を受けないと言えよう。

まとめ 砂の応力～ひずみ関係に及ぼす初期構造異方性の影響はひずみの増大とともに次第に消滅していくが、体積変化の導動因子のとき認められる。体積変化のための仕事量に対する補正を行なうと、たん度に及ぼす初期構造異方性の影響はさらに小さくなり、实用上、無視できることと言えよう。参考文献 (1)足立, 龍岡: 土の力学(Ⅲ), 技報堂. (2)Poorooshshab, 他(1961): Proc. 5th ICSMFE, Vol. 1. (3)落合, 他(1983): 第18回土質工学研究発表会. (4)小田, 他(1977): Proc. 9th ICSMFE, Vol. 1.

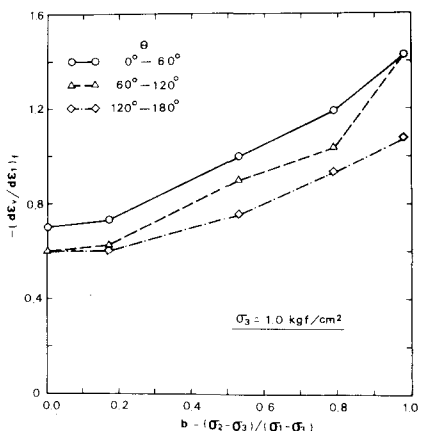


図-2 破壊時の体積膨張率

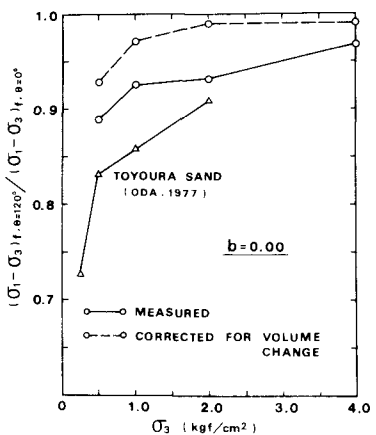


図-3 強度比と拘束圧力の関係

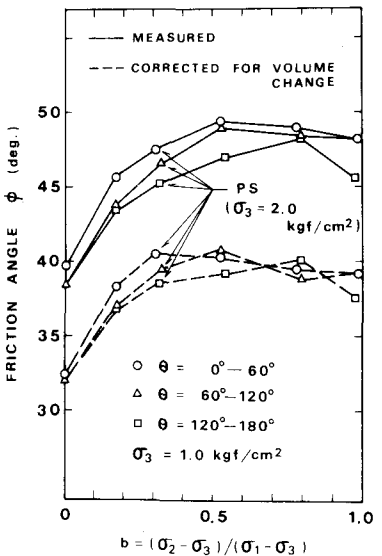


図-4 θ～b関係